

بررسی عملکرد جهش هیدرولیکی در مقاطع ذوزنقه‌ای

محمد حسین امید

مری‌گروه آبیاری و آبادانی دانشکده کشاورزی دانشگاه تهران

تاریخ پذیرش مقاله ۷۵/۳/۳۰

خلاصه

بمنظور شناخت خصوصیات و پیش‌بینی عملکرد جهش هیدرولیکی در مقاطع ذوزنقه‌ای جهت دست یابی به معیارهای هیدرولیکی طرح حوضچه‌های آرامش با سطح مقطع ذوزنقه، نتایج حاصل از آزمایش‌های انجام شده بر روی یک مدل هیدرولیکی (فیزیکی) با دینی متغیر ۳ تا ۲۵ لیتر در ثانیه مورد تجزیه و تحلیل قرار گرفته و پارامترهای مشخصه جهش در مقاطع ذوزنقه‌ای شامل:

نسبت عمق ثانویه، افت انرژی و طول جهش در چهار گزینه با شبکه‌های جانبی ۱/۰، ۱، ۰/۵ و ۰/۲ مورد مقایسه قرار گرفته است.

نتایج نشان می‌دهد که نسبت عمق ثانویه در مقاطع ذوزنقه‌ای کمتر از مقطع مستطیل بوده و مقدار آن با کاهش شبکه‌های جانبی کاهش می‌یابد. افت انرژی در اینگونه مقاطع با شبکه‌های جانبی نسبت عکس دارد و طول جهش با کاهش شبکه‌های جانبی افزایش می‌یابد.

مطالعاتی که تا کنون در مورد جهش صورت گرفته است

غالباً در مورد جریان در مقطع مستطیلی بوده و بدین لحاظ حوضچه‌های آرامش نیز که بستر تشکیل جهش در پائین دست سرریزهای تند آب‌ها، دریچه‌ها و ... می‌باشد عدم معموماً "با مقطع مستطیلی احداث می‌گردد و طرح حوضچه با سایر مقاطع بدليل عدم دسترسی به معیارهای هیدرولیکی لازم و عدم شناخت کافی از وضعیت و عملکرد جهش در اینگونه مقاطع، کمتر صورت گرفته و در مواردی نیز که استفاده از این مقاطع اجتناب ناپذیر بوده است از مدل‌های هیدرولیکی جهت طراحی کمک گرفته شده است.

با توجه به اینکه مقطع ذوزنقه در سازه‌های آبی بدليل سهولت در اجرا و کاهش هزینه، عمومیت فراوانی یافته و کاربرد آن در حوضچه‌های آرامش نیز روز افزون است، تحقیق حاضر بمنظور شناخت خصوصیات و پیش‌بینی عملکرد جهش هیدرولیکی در اینگونه مقاطع و دست یابی به معیارهای هیدرولیکی جهت طراحی اینگونه حوضچه‌ها صورت گرفته است.

مقدمه

پدیده جهش هیدرولیکی برای اولین بار مورد توجه لئوناردو داوینچی دانشمند ایتالیائی قرار گرفت، پس از او یک مهندس ایتالیائی بنام بیدون^۱ در سال ۱۸۱۸ جهش هیدرولیکی را مورد بررسی و تحقیق قرار داد و از آن تاریخ تا کنون محققین زیادی در مورد شرایط و خصوصیات این پدیده جالب مطالعه کرده اند لیکن علیرغم گذشت نزدیک به دو قرن از شروع مطالعات هنوز مسائل ناشناخته زیادی در مورد جهش وجود دارد که محققین را به ادامه تحقیق در این زمینه ترغیب می‌کند (۲).

جهش هیدرولیکی یکی از انواع جریانهای متغیر سریع می‌باشد که در نتیجه تبدیل جریان فوق بحرانی روی شبکه تند به جریان زیر بحرانی در شبکه ملائم بوجود می‌آید. شکل جهش و مشخصات آن به عوامل متعددی از جمله شکل سطح مقطع جریان، سرعت جریان در بالادست، وضعیت جریان در پائین دست و ... بستگی دارد.

Fr	- عدد فرود
G	- شتاب ثقل
L _{j,L}	- طول جهش
M	- نیروی مخصوص در هر مقطع
Q	- دبی جریان
R ₁	- افت انرژی نسبی
V	- سرعت جریان
Y _d	- عمق آب در هر مقطع دلخواه
Y	- فاصله مرکز ثقل سطح مقطع جریان از سطح آب
Z	- شیب دیواره های جانبی (Z:1)

الف - نسبت عمق ثانویه

برای محاسبه عمق ثانویه جهش از برابر قرار دادن نیروی مخصوص در فاصله کوتاه بین دو مقطع قبل و بعد از جهش با صرف نظر کردن از افت اصطکاکی ناجیز در این فاصله کمک می گیریم (۵).

$$M_1 = M_2$$

$$(YA + \frac{Q^2}{GA})_1 = (YA + \frac{Q^2}{GA})_2$$

چنانچه فاصله مرکز ثقل سطح مقطع جریان از سطح آب را که تابعی از عمق جریان می باشد بصورت حاصلضرب ضریب ثابتی مانند K که برای هر شکل مقطع مشخص و ثابت می باشد که در عمق جریان در نظر گرفته و در معادله فوق جایگذاری کنیم. پس از مرتب کردن، خواهیم داشت:

$$K_1 Y_1 A_1 - K_2 Y_2 A_2 = \frac{Q^2}{G} \left(\frac{1}{A_2} - \frac{1}{A_1} \right)$$

از طرفی می توان سطح مقطع ذوزنقه را از حاصلضرب عرض مقطع در عمق جریان بدست آورد. $B \cdot Y = A$ بنابراین (۵)

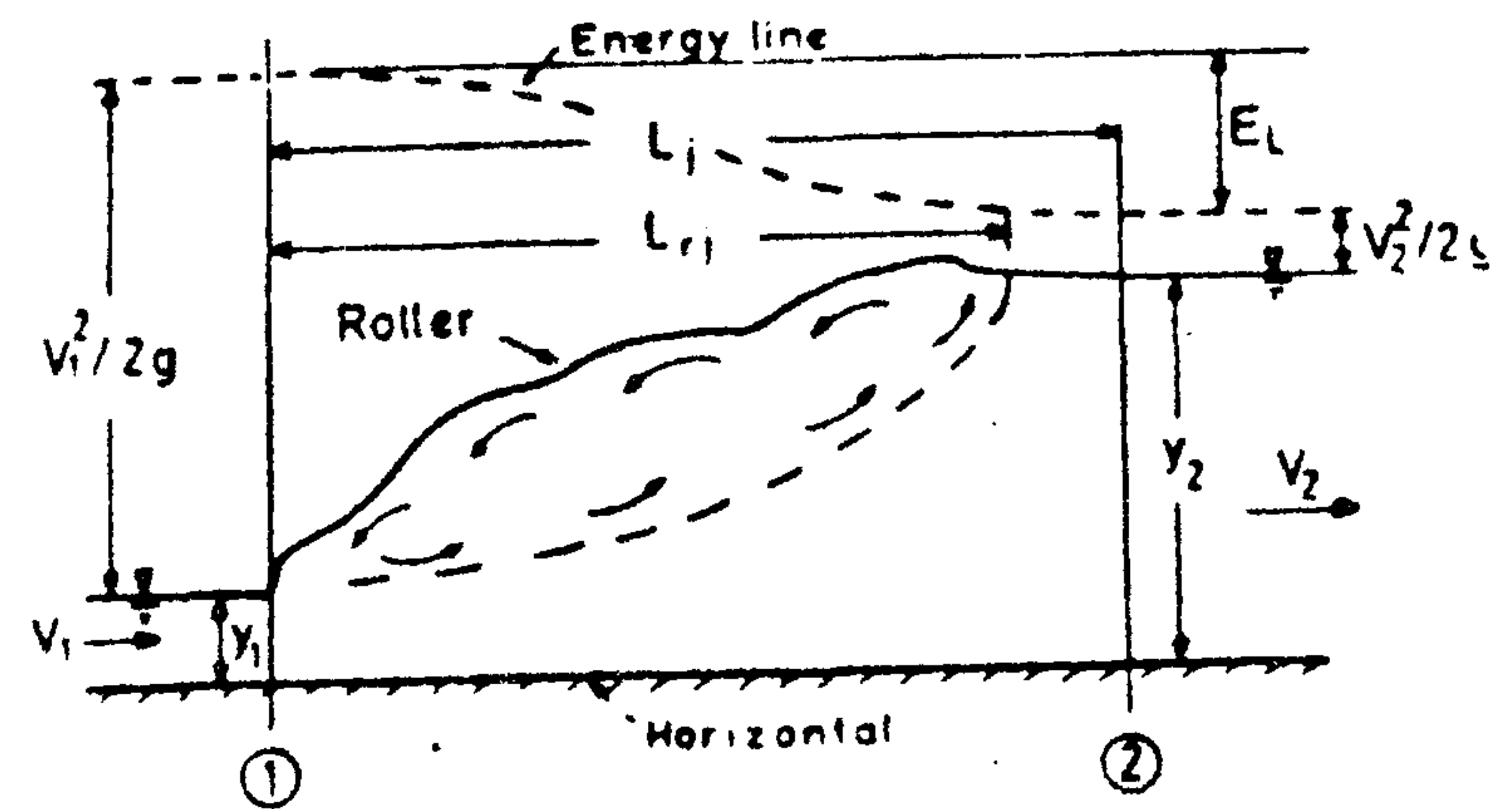
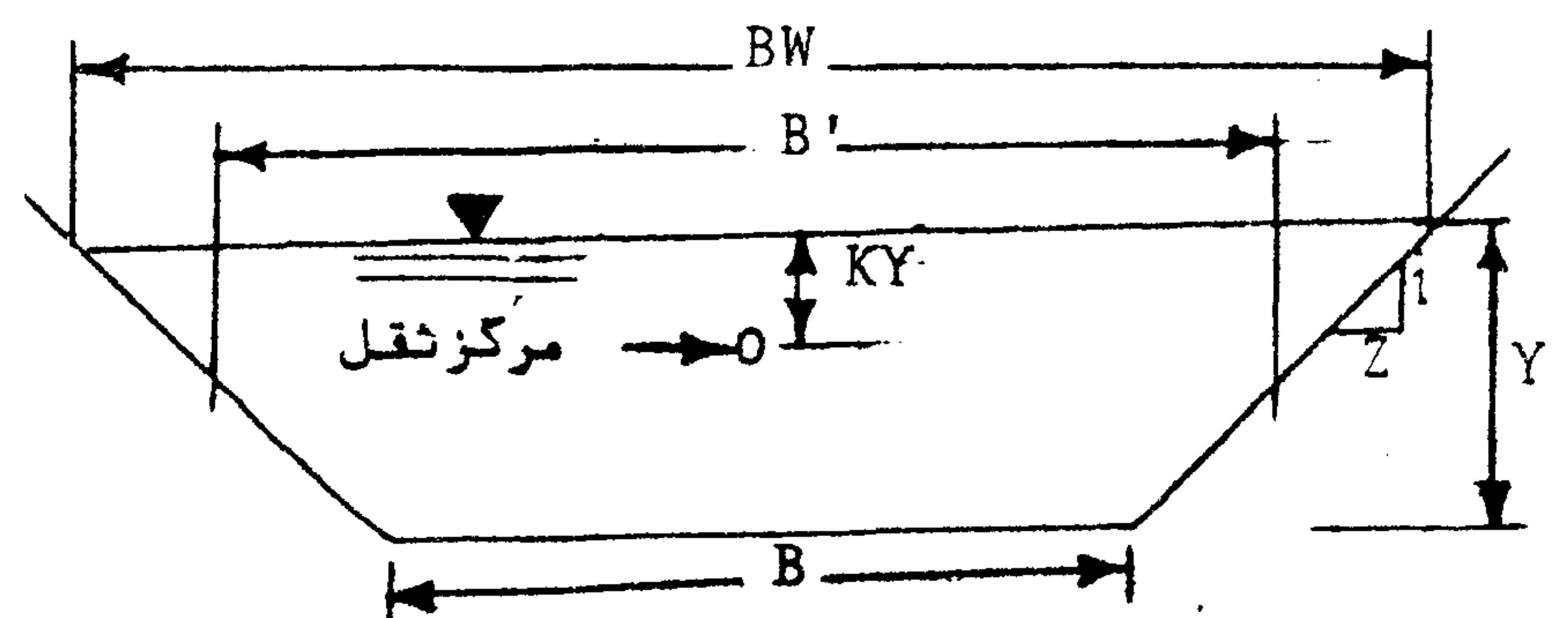
$$K_1 B'_1 Y_1^2 - K_2 B'_2 Y_2^2 = \frac{Q^2}{G} \left(\frac{1}{B'_2 Y_2} - \frac{1}{B'_1 Y_1} \right)$$

معادله ۱ یک رابطه کلی برای محاسبه عمق ثانویه در مقاطع ذوزنقه ای می باشد که حل مستقیم نداشته و تنها بکمک یکی از روش‌های عدی قابل حل است. چنانچه این معادله را بر حسب عدد فرود مرتب کنیم خواهیم داشت:

$$\frac{Y_2}{Y_1} = \left\{ \left[K_1 + Fr_1^2 \frac{D}{Y_1} \left(1 - \frac{B'_1 Y_1}{B'_2 Y_2} \right) \right] \frac{B'_1}{B'_2} \cdot \frac{1}{K_2} \right\}^{1/2} \quad (2)$$

برای حل معادله (۲) و محاسبه نسبت عمق ثانویه، برنامه ای به زبان بیسیک تهیه گردید که با استفاده از آن نسبت عمق ثانویه در مقابله اعداد فرود مختلف محاسبه و در شکل ۲ نشان داده شده است.

بررسی نظری جهش هیدرولیکی در مقاطع ذوزنقه‌ای اصول هیدرولیکی حاکم بر جهش در کلیه مقاطع از جمله مقاطع ذوزنقه یکسان بوده و معادلاتی که مورد استفاده خواهند بود معادلات انرژی بر نولی، ممنتوم و نیروی مخصوص می باشد (۹). برای مطالعه خصوصیات جهش طبق معمول سه مشخصه اصلی جهش یعنی نسبت عمق ثانویه، میزان استهلاک انرژی و طول جهش را مورد بررسی قرار می دهیم (۷). شکل ۱ مقطع و پروفیل طولی جهش را همراه با پارامترهای هندسی مورد استفاده در محاسبات نشان می دهد.



شکل ۱ - شمای توصیفی مقطع و پروفیل طولی جهش (۹)

پارامترهایی که در محاسبات از آنها استفاده گردیده است

عبارتند از :

A - سطح مقطع جریان

B - عرض کف کanal

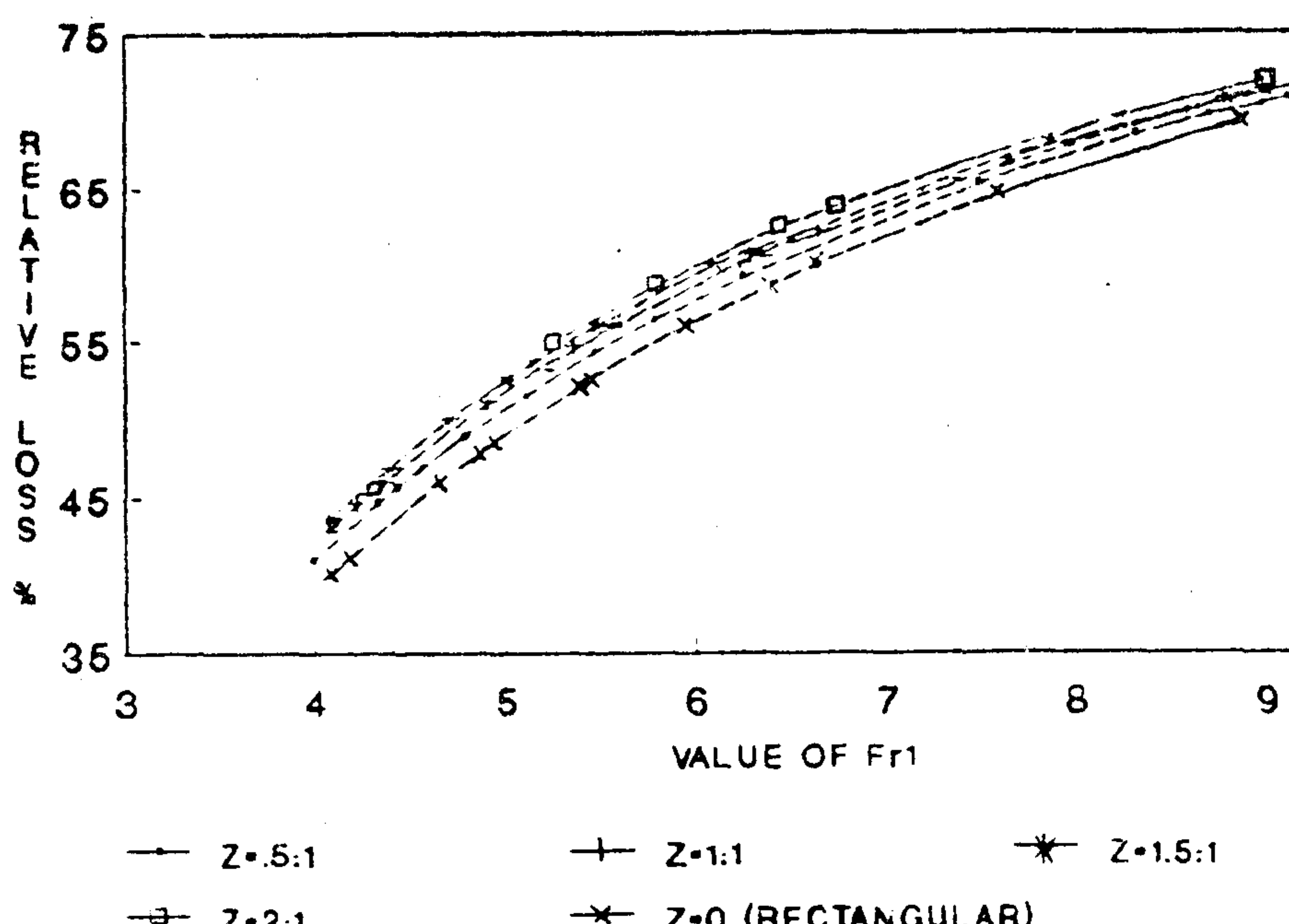
Bw - عرض مقطع در سطح آب ($Bw = B + 2ZY$)

B - عرض متوسط مقطع

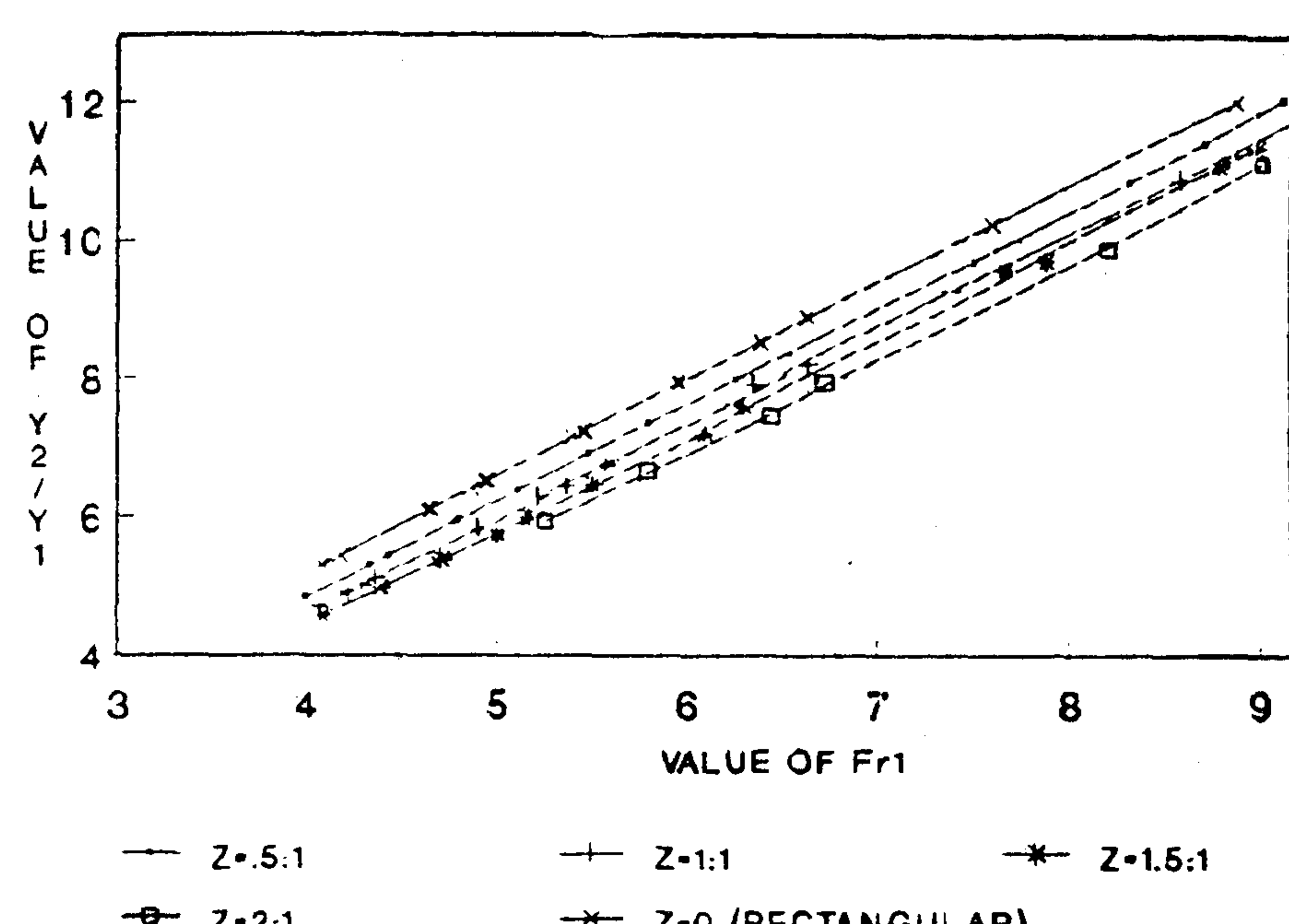
D - عمق متوسط جریان ($D = A/Bw$)

E - انرژی در هر مقطع دلخواه

El - افت انرژی



شکل ۳ - افت انرژی نسبی در مقابل اعداد فرود بالادست



شکل ۲ - نسبت عمق ثانویه در مقابل اعداد فرود بالادست

آزمایش‌های انجام شده بر روی مدل‌های فیزیکی می‌باشد. روابطی که تاکنون برای محاسبه طول جهش در مقاطع ذوزنقه ارائه گردیده است نتایج بسیار متفاوتی را بدست می‌دهد. بعضی از این روابط عبارتند از (V):

$$L = 5Y_2(1 + 4 \sqrt{\frac{BW_2}{BW_1}} - 1)$$

$$L = 44(Y_2 - Y_1) \quad Z = 2$$

$$L = 33(Y_2 - Y_1) \quad Z = 1$$

$$L = 22(Y_2 - Y_1) \quad Z = 0.5$$

مواد و روشها

بمنظور انجام آزمایش‌های عملی و بررسی شرایط و خصوصیات جهش هیدرولیکی در مقاطع ذوزنقه ای، از یک کanal با جنس شیشه پلاستیکی پرس پکس^۱ با کف افقی به عرض ۳۰ سانتیمتر و طول ۱۸۰ سانتیمتر در پائین دست مخزن ایجاد انرژی با سریز اوجی استفاده گردید (۱۳۷۰) (آزمایشگاه هیدرولیک دانشگاه صنعتی امیر کبیر) دیواره های جانبی کanal بوسیله لوله قابل تغییر طراحی گردید تا امکان ایجاد شبکه های جانبی مورد نیاز برای این کanal پذیر باشد. در انتهای کanal یک دریچه کشوئی نصب گردید که بوسیله آن ایجاد عمق لازم برای پایاب برای هر دبی برای این کanal پذیر باشد.

برای ایجاد جریان فوق بحرانی قابل کنترل جهت دست یابی به اعداد فرود مناسب (۹-۵/۴) از یک سریز اوجی از جنس ملات

ب - افت انرژی
افت انرژی در جهش هیدرولیکی که برابر با اختلاف انرژی قبل و بعد از جهش می‌باشد از تفاضل انرژی مخصوص در مقاطع قبل و بعد از جهش بدست خواهد آمد. (۵)

$$E_1 = \left(Y_1 + \frac{Q^2}{2GA^2} \right)_1 - \left(Y_1 + \frac{Q^2}{2GA^2} \right)_2$$

و یا:

$$E_1 = \frac{Y_1}{2} Fr_1^2 \left(1 - \frac{B_1 Y_1}{B_2 Y_2} \right)^2 + (Y_1 - Y_2) \quad (3)$$

معادله (۳) یک رابطه عمومی برای محاسبه افت انرژی در جهش هیدرولیکی می‌باشد. برای بیان افت، غالباً از افت انرژی نسبی که نسبت افت انرژی به انرژی اولیه می‌باشد استفاده می‌شود. چنانچه معادله فوق را به انرژی اولیه تقسیم کنیم. پس از مرتب کردن خواهیم داشت:

$$2 - \frac{2Y_2}{Y_1} + Fr_1^2 \left[1 - \left(\frac{B_1 Y_1}{B_2 Y_2} \right)^2 \right]$$

$$RL = \frac{---}{2 + Fr_1}$$

برای حل معادله فوق و محاسبه افت انرژی، برنامه‌ای به زبان پیسیک تهیه گردید که نتایج آن بصورت منحنی‌های افت انرژی نسبی در مقابل اعداد فرود مختلف در شکل ۳ نشان داده شده است.

ج - طول جهش

هیچگونه رابطه تحلیلی برای محاسبه طول جهش هیدرولیکی در هیچیک از مقاطع وجود ندارد و آنچه که نیز تاکنون در این رابطه بیان گردیده است مبنی بر تجربیات حاصل از

در هر آزمایش دبی، عمق های اولیه و ثانویه و طول جهش اندازه گیری گردید و وضعیت عمومی جهش نیز ثبت شد. نمونه ای از نتایج آزمایش‌های انجام شده که مربوط به گزینه I ($Z=0.5$) می‌باشد در جدول شماره ۱ نشان داده شده است.

تجزیه و تحلیل مشاهدات و نتایج آزمایشها

بمنظور ایجاد سهولت در مقایسه بین گزینه‌ها، نتایج آزمایش‌های انجام شده بصورت منحنی‌های تغییرات، نسبت عمق ثانویه، افت انرژی نسبی و نسبت طول جهش به عمق اولیه در مقابل اعداد فرود بالادست رسم گردیده و در شکل‌های ۵ الی ۱۸ نشان داده شده است. با استفاده از این نمودارها می‌توان نتایج زیر را در مورد خصوصیات جهش استخراج نمود.

الف - نسبت عمق ثانویه

از شکل‌های ۵-۹ مشاهده می‌گردد که نسبت عمق ثانویه واقعی در تمام گزینه‌ها همانگ با نسبت عمق ثانویه تئوری که از شکل شماره ۲ استخراج گردید می‌باشد. با افزایش عدد فرود بالادست افزایش می‌یابد و مقدار آن نیز همواره بیشتر از مقدار تئوری می‌باشد که این تفاوت بدلیل صرف نظر کردن از افت اصطکاکی در معادلات تئوری می‌باشد. همبستگی میان منحنی‌های تئوری و نتایج عملی را می‌توان دلیلی بر دقت بالای نتایج بدست آمده دانست. از مقایسه منحنی‌های مربوط به گزینه‌های مختلف که در شکل ۱۰ نشان داده شده‌اند مشاهده می‌گردد که منحنی‌های مربوط به گزینه‌های ۲, III, IV, V که مربوط به مقاطع ذوزنقه می‌باشند در زیر منحنی مربوط به گزینه VII (مقاطع مستطیلی) قرار دارند و این بدان معنی است که نسبت عمق ثانویه در شرایط یکسان عدد فرود بالادست، با افزایش شب جانبی افزایش می‌یابد. به همین دلیل بیشترین نسبت عمق ثانویه مربوط به مقاطع مستطیل و کمترین آن مربوط به مقاطع ذوزنقه با شب جانبی $Z=2$ می‌باشد.

بر اساس داده‌های بدست آمده بهترین معادلاتی که بیشترین ضریب همبستگی را داشته اند از میان بازگشت‌های مختلف برای محاسبه نسبت عمق ثانویه تعیین گردیده است که در جدول شماره ۲ نشان داده شده است.

ب - افت انرژی

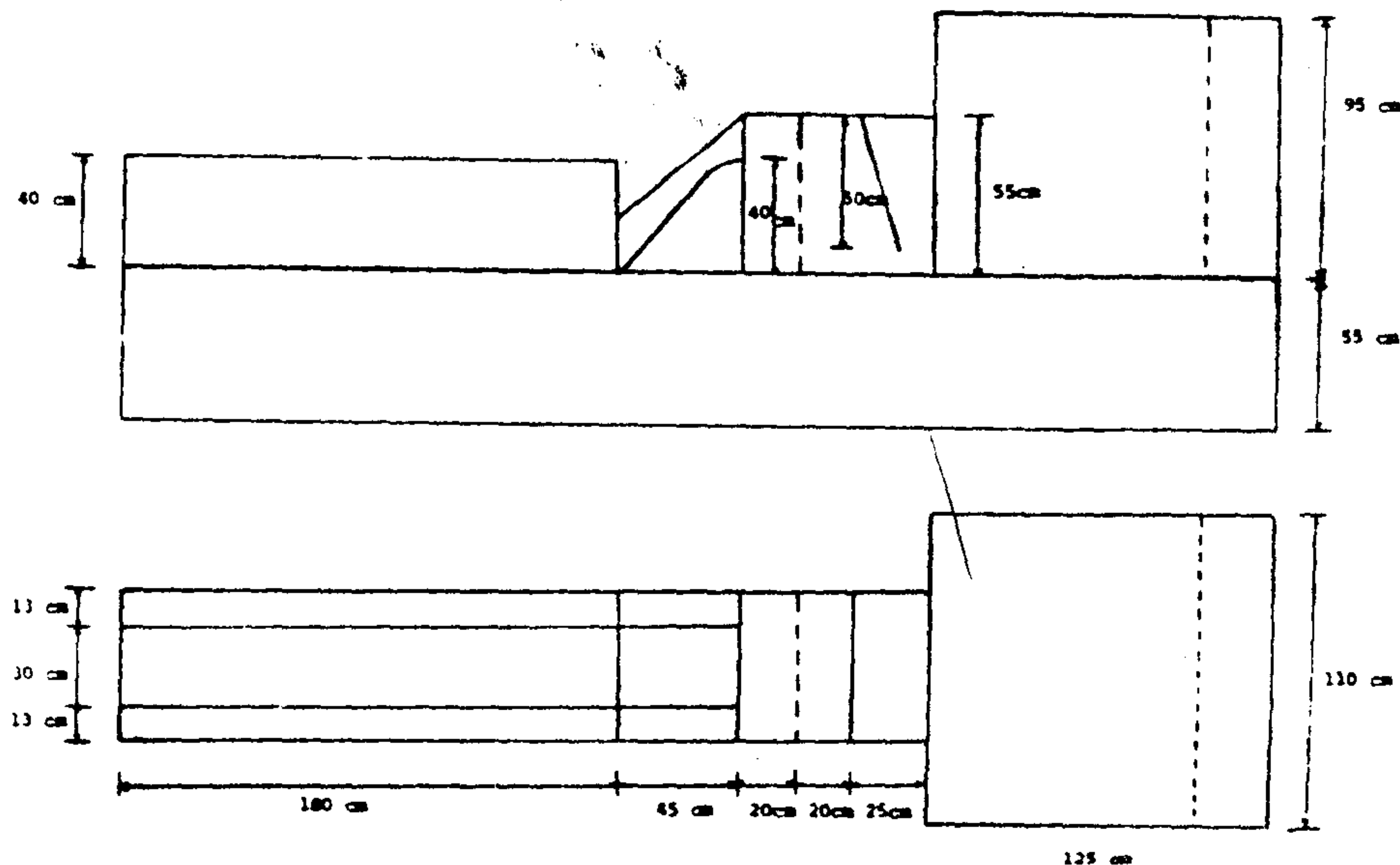
در نمودارهای ۱۱-۱۶، منحنی‌های تغییرات افت انرژی نسبی اندازه گیری شده در مقابل اعداد فرود بالادست در کنار

سیمان به ارتفاع ۴۰ سانتیمتر با سطح کاملاً صاف استفاده شد. برای دست یابی به یک جریان آرام و بدون موج روی سرریز از دو مخزن متوالی که در داخل آنها شبکه‌های آرام کتنده قرار داشت استفاده شد. در حد فاصل بین دو مخزن یک سرریز مثلثی و اسنجری شده در آزمایشگاه نصب گردید تا اندازه گیری دبی با دقت لازم امکان پذیر باشد. منبع تامین آب مخزن زمینی آزمایشگاه بود که با استفاده از یکدستگاه الکتروپمپ گریز از مرکز جریان لازم را به داخل مخزن مدل هدایت می‌کرد و در انتهای مدل مجدداً جریان به مخزن زمینی بازگردانده می‌شد.

وسایل اندازه گیری که در آزمایشها مورد استفاده قرار گرفتند

شامل:

سرریز مثلثی، پیزومتر، متر و عمق سنج با دقت ۱/۰ میلیمتر (قبل از سرریز مثلثی، قبل از سرریز اوجی و در محل عمق‌های اولیه و ثانویه) بود. شکل ۴ مشخصات مدل را نشان می‌دهد.



شکل ۴ - مشخصات پلان و مقطع طولی مدل فیزیکی

با توجه به اینکه شبکه‌های جانبی مورد استفاده در سازه‌های هیدرولیکی تقریباً بصورت تیپ و استاندارد می‌باشد، آزمایشها در قالب ۵ گزینه به ترتیب با شبکه‌های جانبی ۵/۰، ۱۰، ۱۵، ۲۰ و ۴۰ (مقاطع مستطیل بعنوان مرجع مقایسه) صورت گرفت. در هر گزینه آزمایش‌ها با دبی کم شروع و با هر تکرار مقداری به دبی افزوده می‌گردید. تنظیم دبی بوسیله یک شیر فلکه که بلافاصله بعد از پمپ نصب گردیده بود صورت می‌گرفت به استثناء گزینه VII که بدلیل ناپایداری جهش، آزمایش در دبی‌های بالا میسر نبود در سایر گزینه‌ها بین ۱۲ تا ۱۶ تکرار انجام شد.

جدول ۱ - مشخصات جهش در گزینه I

N	Fr1	d1cm	d2cm	Hcm	$\frac{d_2}{d_1}$	Lcm	L/d1	L/d2	L/H3	E1cm	E2cm	ELcm%	RL%	Ej%
(۱)	(۲)	(۳)	(۴)	(۵)	(۶)	(۷)	(۸)	(۹)	(۱۰)	(۱۱)	(۱۲)	(۱۳)	(۱۴)	(۱۵)
۱	۹/۱	۰/۴۷	۶/۲	۵/۷	۱۳/۲	۴۲	۸۹/۴	۶/۸	۷/۴	۱۹/۸	۶/۳	۱۳/۱۵	۶۸/۲	۳۱/۸
۲	۹/۰	۰/۵۱	۶/۴	۵/۹	۱۲/۶	۴۴	۸۶/۳	۶/۹	۷/۵	۲۰/۸	۶/۵	۱۴/۳	۶۸/۷	۳۱/۳
۳	۸/۷	۰/۶۳	۷/۶	۷/۰	۱۲/۱	۵۱	۸۱/۰	۶/۷	۷/۳	۲۴/۲	۷/۸	۱۶/۴	۶۷/۸	۳۲/۲
۴	۷/۶	۰/۸۵	۹/۲	۸/۴	۱۰/۸	۵۶	۶۶/۰	۶/۱	۶/۷	۲۴/۶	۹/۴	۱۵/۲	۶۲/۰	۳۸/۰
۵	۶/۸	۱/۱۸	۱۱/۳	۱۰/۱	۹/۶	۶۴	۵۴/۰	۵/۷	۶/۳	۲۵/۱	۱۱/۵	۱۳/۶	۵۴/۰	۴۶/۰
۶	۵/۸	۱/۴۰	۱۱/۷	۱۰/۳	۸/۴	۶۶	۴۷/۱	۵/۶	۶/۴	۲۴/۳	۱۱/۹	۱۳/۴	۵۰/۹	۴۹/۱
۷	۵/۵	۱/۶۲	۱۲/۷	۱۱/۰	۷/۸	۷۲	۴۴/۴	۵/۷	۶/۶	۲۵/۳	۱۲/۹	۱۲/۴	۴۹/۱	۵۰/۹
۸	۵/۱	۱/۹۰	۱۳/۶	۱۱/۷	۷/۲	۷۷	۴۰/۵	۵/۷	۶/۶	۲/۵۹	۱۳/۹	۱۲/۰	۴۶/۲	۵۳/۸
۹	۴/۸	۲/۲۰	۱۴/۸	۱۲/۶	۶/۷	۸۴	۳۸/۲	۵/۷	۶/۷	۲۶/۶	۱۵/۲	۱۱/۴	۴۲/۰	۵۷/۰
۱۰	۴/۸	۲/۲۵	۱۵/۰	۱۲/۸	۶/۷	۸۷	۳۸/۶	۵/۸	۶/۸	۲۷/۱	۱۵/۴	۱۱/۷	۴۳/۲	۵۶/۸
۱۱	۴/۴	۲/۵۶	۱۶/۰	۱۳/۴	۶/۳	۹۳	۳۶/۳	۵/۸	۶/۹	۲۶/۷	۱۶/۴	۱۰/۳	۲۸/۵	۶۱/۵
۱۲	۴/۳	۲/۸۰	۱۶/۸	۱۴/۰	۹۷	۳۴/۶	۵/۸	۶/۹	۲۷/۹	۱۷/۳	۱۰/۶	۳۸/۱	۶۱/۹	
۱۳	۴/۰	۳/۲۰	۱۷/۸	۱۴/۶	۵/۶	۱۰۴	۳۲/۵	۵/۸	۷/۱	۲۷/۵	۱۸/۳	۹/۲	۳۳/۴	۶۶/۶
۱۴	۴/۰	۳/۵۰	۱۸/۷	۱۵/۲	۵/۴	۱۱۰	۳۱/۴	۵/۹	۷/۲	۲۹/۹	۱۹/۳	۱۰/۶	۳۵/۵	۶۴/۵

که بیشترین طول جهش مربوط به کمترین شیب جانبی ($Z=2$) و کمترین طول آن مربوط به بیشترین شیب جانبی (قطعه مستطیلی) می باشد.

در جدول شماره ۳، بهترین معادلاتی که بیشترین ضریب همبستگی را دارا بوده اند جهت محاسبه طول جهش بر اساس نسبت های طول جهش به عمقهای اولیه و ثانویه نشان داده شده اند.

طبق آنچه از نتایج آزمایشها مشاهده گردید، نسبت عمق ثانویه در مقاطع ذوزنقه ای همواره کمتر از مقدار آن در مقاطع مستطیلی می باشد. این موضوع از طریق ریاضی نیز با استفاده از معادله نیروی مخصوص قابل اثبات است. چنانچه معادله نیروی مخصوص را برای محاسبه عمق ثانویه در دو کanal با عرض کف یکسان، یکی با مقاطع مستطیلی و دیگری با مقاطع ذوزنقه که با شرایط بالادست یکسان، جهش در آنها تشکیل شده است در نظر بگیریم خواهیم داشت:

$$M1_{Rec.} = M1_{Tra.}$$

$$M1 = M2 \Rightarrow M2_{Rec.} = M2_{Tra.}$$

$$(\bar{Y}A + \frac{Q^2}{GA})_2 Tra. = (\bar{Y}A + \frac{Q^2}{GA})_2 Rec.$$

چنانچه طرفین رابطه فوق را در نسبت $\frac{G}{AQ^2}$ ضرب نموده

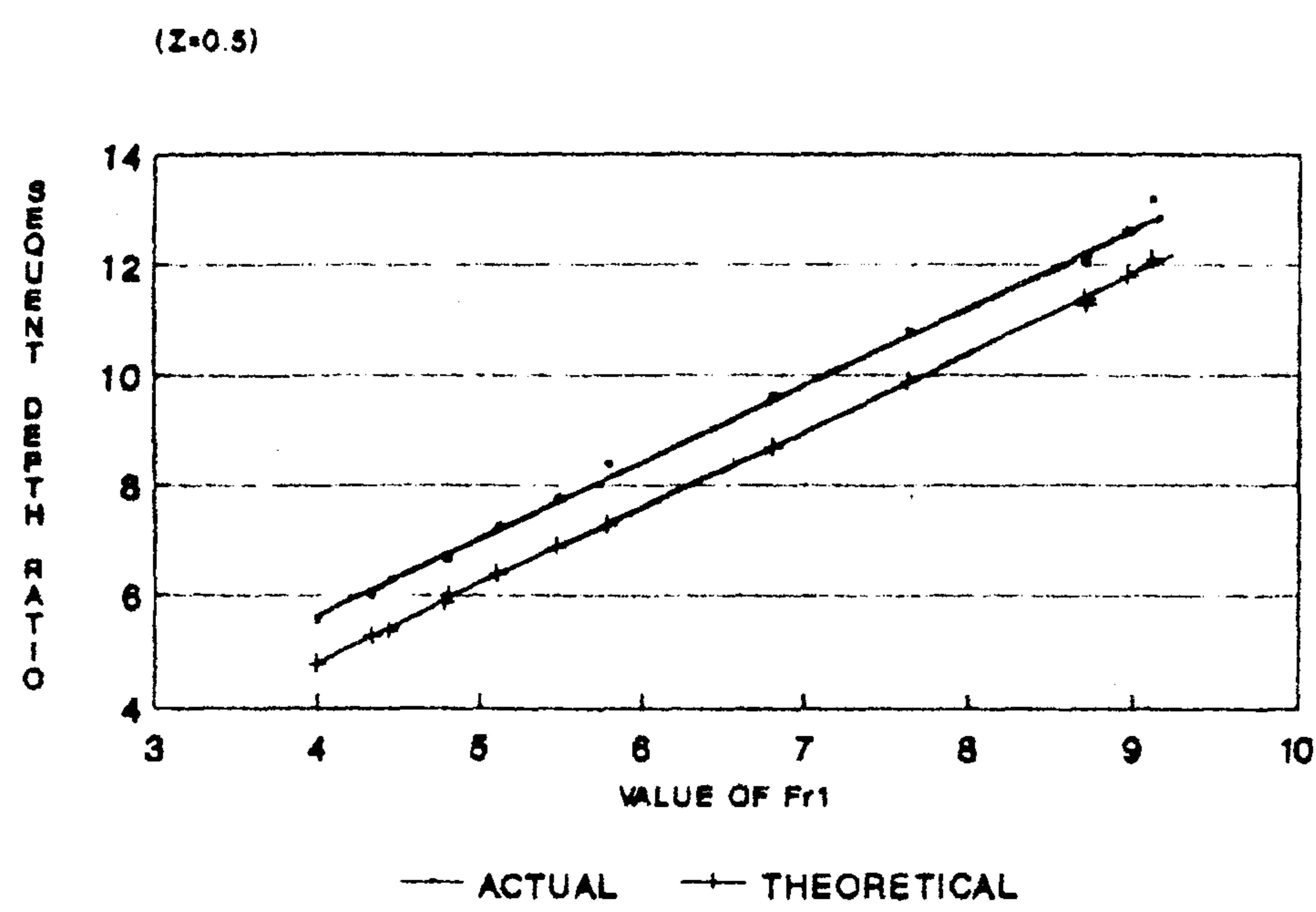
$$\text{و بجای } \bar{Y} \text{ ، معادل آن را که برای مقاطع ذوزنقه } \bar{Y} = \bar{Y}(\frac{1}{3} + \frac{1}{6} \frac{B}{B}) \text{ می باشد جایگذاری کنیم خواهیم داشت:}$$

منحنی های تئوری که از شکل شماره ۳ استخراج گردیده اندنشان داده شده است. همانگونه که مشاهده می گردد در تمام گزینه ها همبستگی قابل قبولی میان نتایج عملی و محاسبات تئوری وجود دارد. در این نمودارها افت انرژی واقعی کمتر از افت محاسبه شده تئوری دیده است. که این مربوط به کوچکتر بودن عمق ثانویه تئوری نسبت به عمقهای واقعی می باشد.

از مقایسه منحنی های مربوط به گزینه های مختلف که در شکل ۱۷ نشان داده شده است مشاهده می گردد که حداکثر افت انرژی مربوط به گزینه IV ($Z=2$) و حداقل آن مربوط به گزینه V ($Z=0$) می باشد و سایر گزینه ها نیز بترتیب کاهش شیب جانبی، در بالای منحنی مربوط به گزینه VII قرار دارند. بنابراین ملاحظه می گردد که افت انرژی در مقاطع ذوزنقه بیشتر از مقاطع مستطیلی بوده و مقدار آن با کاهش شیب های جانبی، افزایش می یابد.

ج - طول جهش

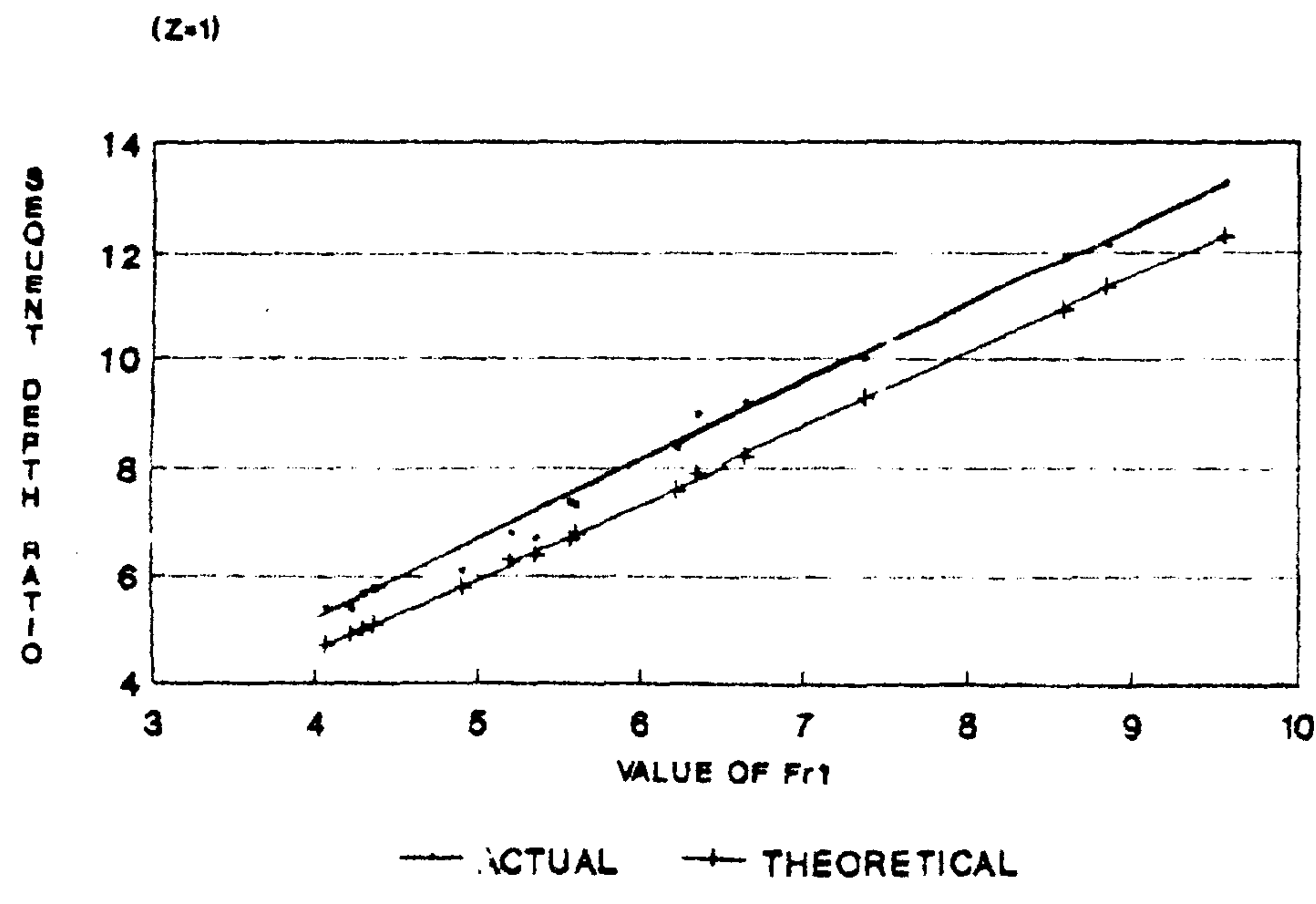
بمنظور بررسی طول جهش و امکان مقایسه و تعمیم آن، از نسبت بدون بعد طول جهش به عمق اولیه استفاده گردید. نتایج اندازه گیری های انجام شده در شکل ۱۸ نشان داده شده است. همانگونه که ملاحظه می گردد منحنی های مربوط به گزینه های I تا IV در بالای منحنی مربوط به گزینه VII (قطعه مستطیلی) قرار دارند بگونه ای



شکل ۵ - مقایسه نتایج واقعی با منحنی تئوری نسبت عمق ثانویه برای گزینه I

جدول ۲ - معادلات منحنی های تغییرات نسبت عمق ثانویه در مقابل اعداد با فرود بالادست.

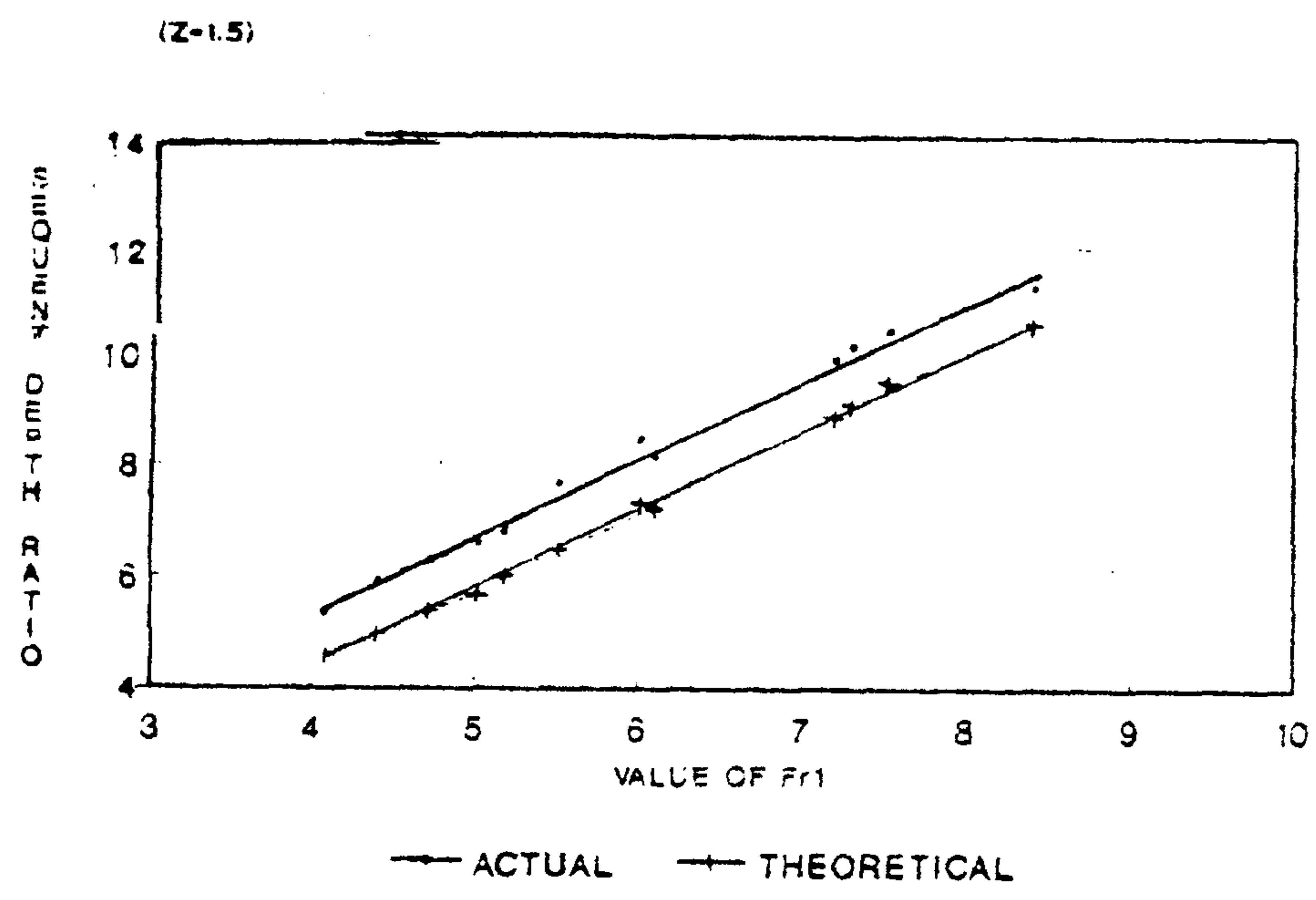
ردیف	معادله منحنی	ضریب همبستگی	گزینه
۱	$\frac{d_2}{d_1} = 1.33 F_1^{1.037}$	0.998	I
۲	$\frac{d_2}{d_1} = 1.23 F_1^{1.053}$	0.999	II
۳	$\frac{d_2}{d_1} = 1.11 F_1^{1.088}$	0.996	III
۴	$\frac{d_2}{d_1} = 1.13 F_1^{1.068}$	0.992	IV
۵	$\frac{d_2}{d_1} = 1.47 F_1^{1.009}$	0.996	V



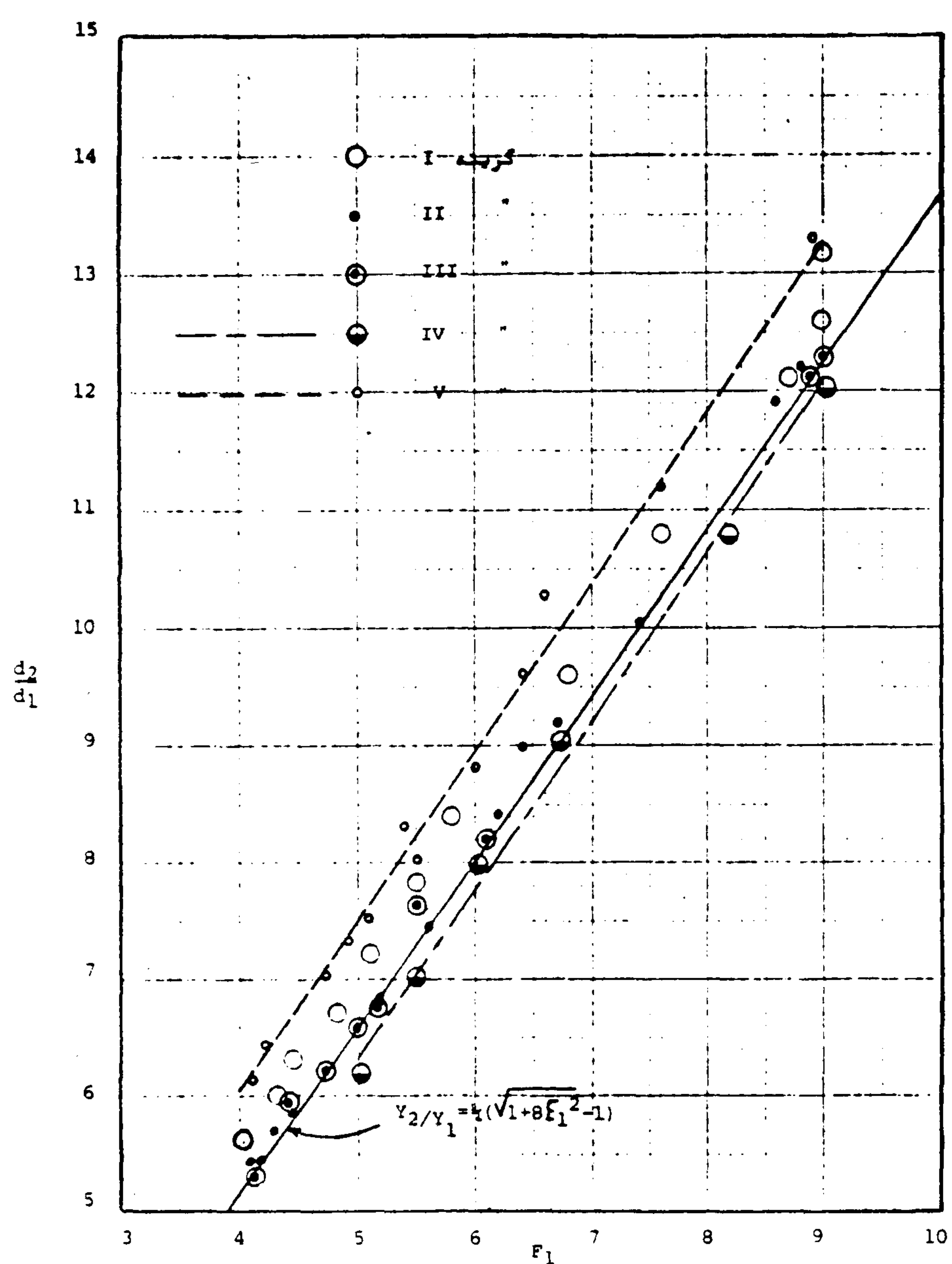
شکل ۶ - مقایسه نتایج واقعی با منحنی تئوری نسبت عمق ثانویه برای گزینه II

جدول ۳ - معادلات منحنی های نسبت طول جهش به عمق های اولیه و ثانویه.

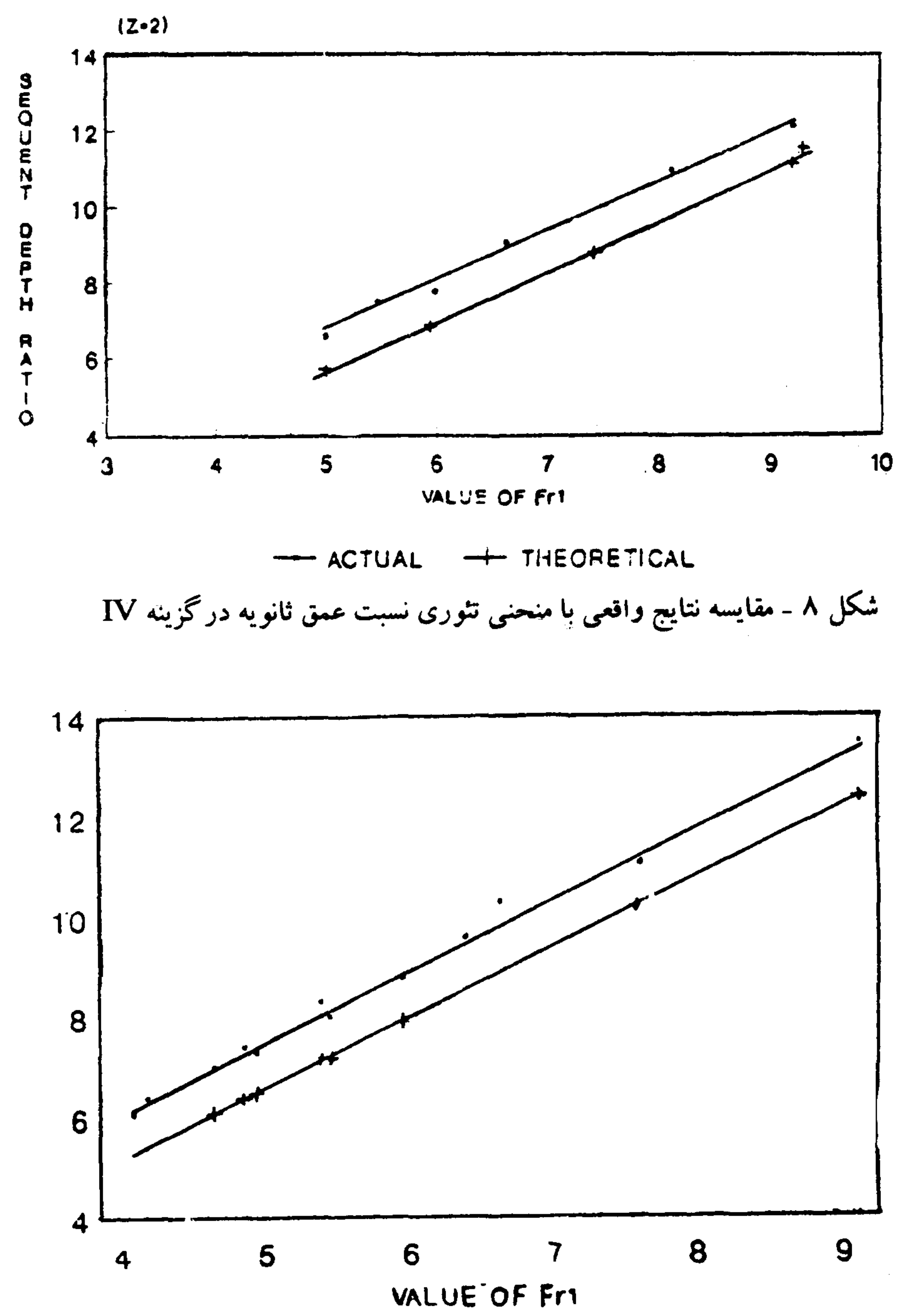
ردیف	معادله	ضریب همبستگی	گزینه
۱	$\frac{L}{d_1} = 5.89 F_1^{1.20}$	0.995	I
۲	$\frac{L}{d_1} = 7.04 F_1^{1.16}$	0.992	II
۳	$\frac{L}{d_1} = 5.25 F_1^{1.62}$	0.993	III
۴	$\frac{L}{d_1} = 12.83 F_1^{1.24}$	0.997	IV
۵	$\frac{L}{d_1} = 7.46 F_1^{1.04}$	0.993	V
۱	$\frac{L}{d_2} = 0.097 F_1^2 - 1.084 F_1 + 8.66$	0.98	I
۲	$\frac{L}{d_2} = 0.077 F_1^2 - 0.965 F_1 + 9.86$	0.78	II
۳	$\frac{L}{d_2} = 0.083 F_1^2 - 0.006 F_1 + 8.44$	0.98	III
۴	$\frac{L}{d_2} = 0.149 F_1^2 - 1.368 F_1 + 17.33$	0.99	IV
۵	-	-	V



شکل ۷ - مقایسه نتایج واقعی با منحنی تئوری نسبت عمق ثانویه در گزینه III



شکل ۱۰ - نسبت عمق ثانویه در مقابل اعداد فرود بالادست



شکل ۸ - مقایسه نتایج واقعی با منحنی تئوری نسبت عمق ثانویه در گزینه IV

$$Y2Rec./Y2Tra. > 1 \Rightarrow Y2Rec. > Y2Tra.$$

همچنین نتایج عملی و محاسبات تئوری نشان داد که همواره افت انرژی در مقاطع ذوزنقه بیشتر از میزان افت در مقاطع مستطیلی است.

افزایش طول جهش در مقاطع ذوزنقه ای نسبت به مقاطع مستطیلی را می توان به این صورت تعبیر کرد که در نتیجه کاهش شبیه دیواره های جانبی بخشی از سطح مقطع جریان بصورت دو مثلث قائم الزوایه در دو طرف مسیر جریان قرار گرفته و در مقابل جت ورودی آب قرار نمی گیرد. بنابراین همواره بخشی از سطح مقطع جریان که می بایست بعنوان نیروئی در مقابل فشار جت آب عمل کند در حاشیه قرار گرفته و نقشی ایفا نمی کند، از طرفی با توجه به کاهش عمق ثانویه در مقاطع ذوزنقه ای فشار هیدرولستاتیکی در مقطع (۲) نیز کاهش می یابد. که این امر نیز موجب طولانی تر شدن جهش خواهد بود.

$$\text{--- ACTUAL} \quad + \text{THEORETICAL}$$

شکل ۹ - مقایسه نتایج واقعی و منحنی تئوری نسبت عمق ثانویه در گزینه V

$$\left[\frac{\frac{Gy}{3} + \frac{1}{6} \frac{B}{B'}}{Q^2} + \frac{1}{(BY)^2} \right]_{2Tra.} = \left[\frac{Gy/2}{Q^2} + \frac{1}{(BY^2)} \right]_{2Rec.}$$

در تساوی فوق قسمت اول سمت چپ تساوی بدليل اینکه ضریب داخل پرانتز همواره کوچکتر از $1/2$ می باشد همیشه کوچکتر از قسمت اول سمت راست تساوی است. بنابراین برقراری تساوی لازم است که قسمت دوم سمت چپ بزرگتر از قسمت دوم سمت راست باشد. یعنی:

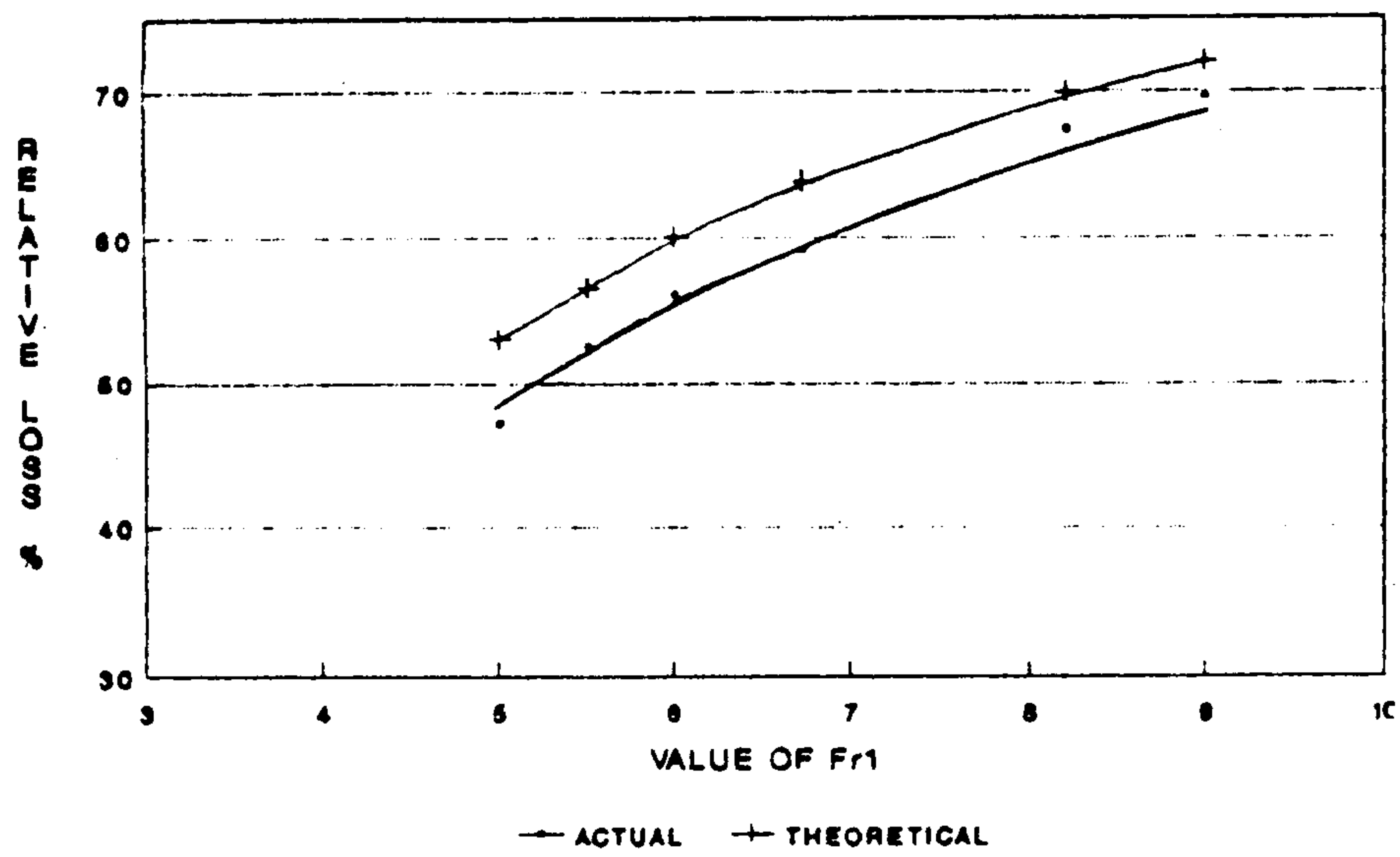
$$\left[\frac{1}{(BY^2)^2} \right]_{Tra.} > \left[\frac{1}{(BY^2)^2} \right]_{Rec.} \Rightarrow [BY^2]_{Tra.} < [BY^2]_{Rec.}$$

و با:

$$[BY^2]_{Rec.}/[BY^2]_{Tra.} > 1 \Rightarrow \frac{Y2 Rec.}{Y2 Tra.} > \frac{B'}{B}$$

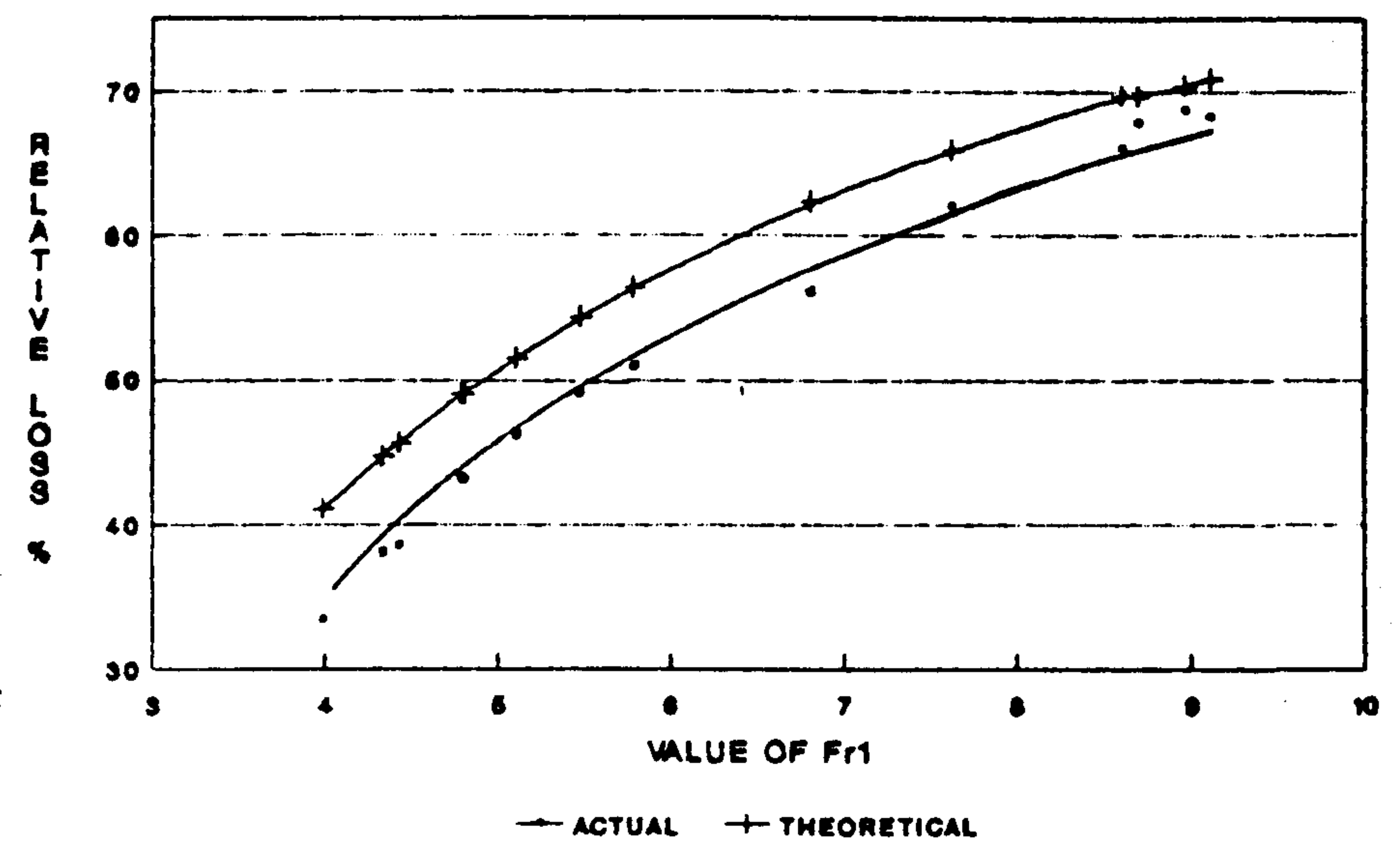
از طرفی همواره $B'/B > 1$, $B' > B$ می باشد بنابراین:

(Z=2)

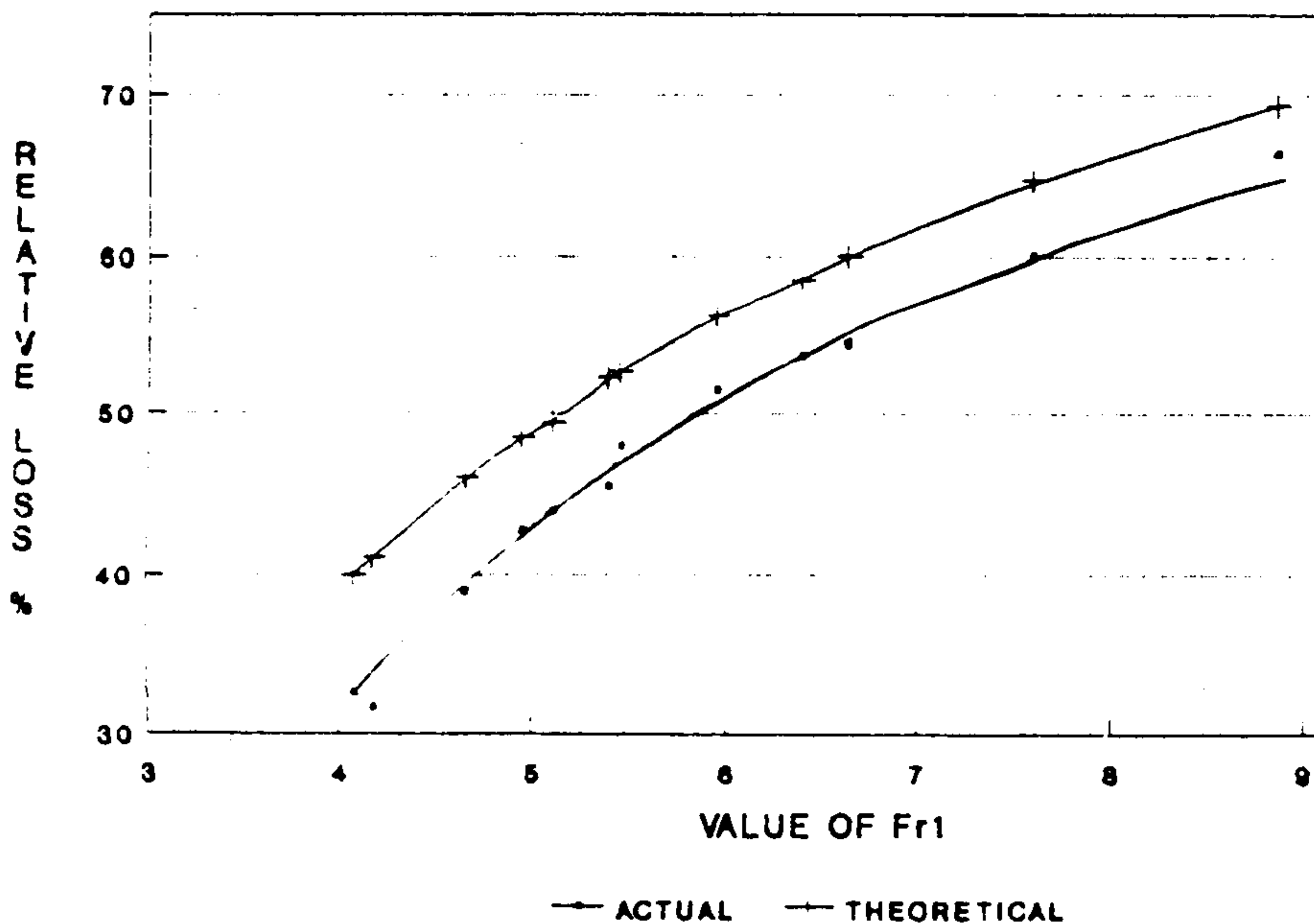


شکل ۱۴ - مقایسه نتایج افت انرژی واقعی با منحنی تئوری در گزینه IV

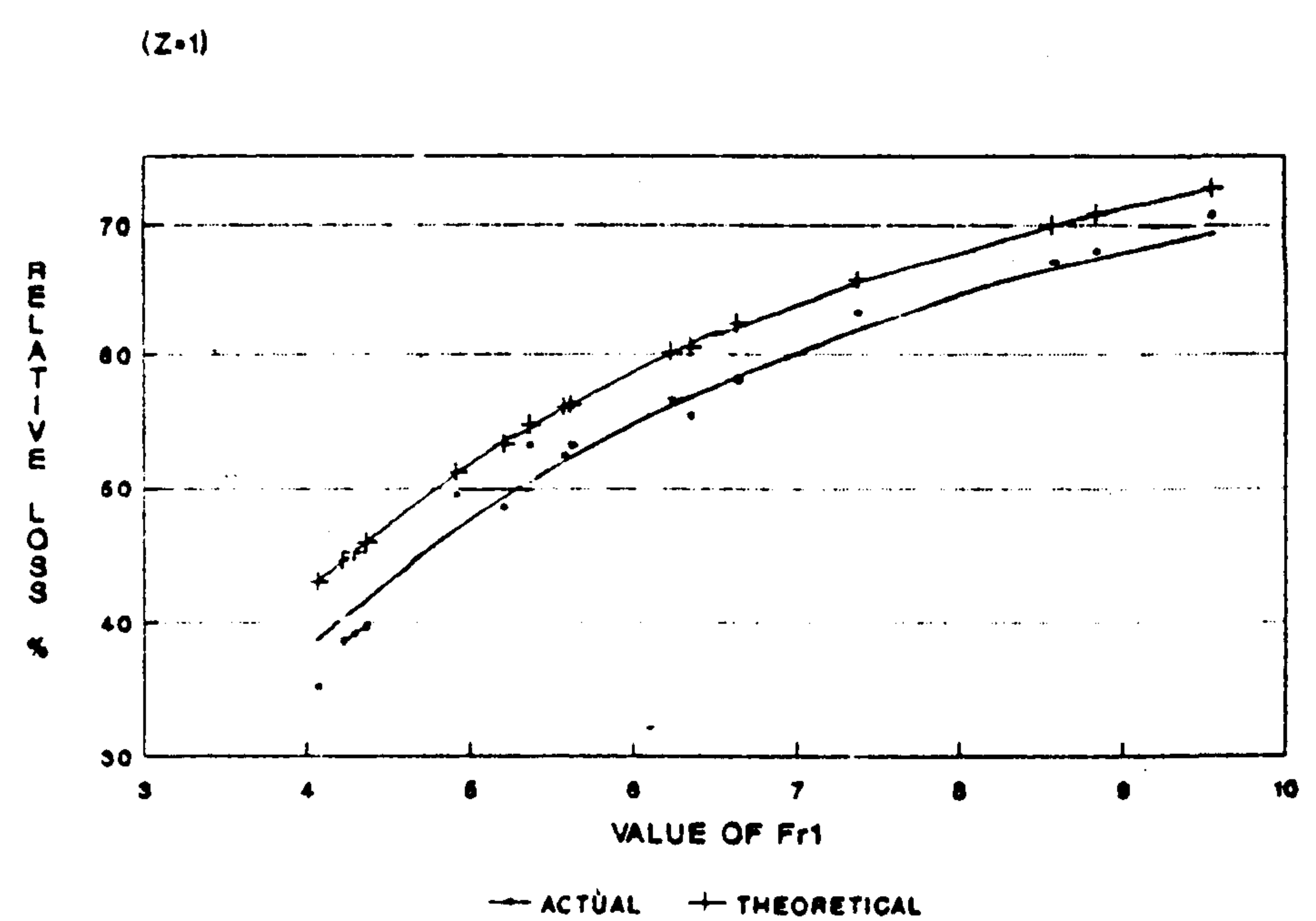
(Z=0.5)



شکل ۱۱ - مقایسه افت انرژی نسبی واقعی با منحنی تئوری در گزینه I



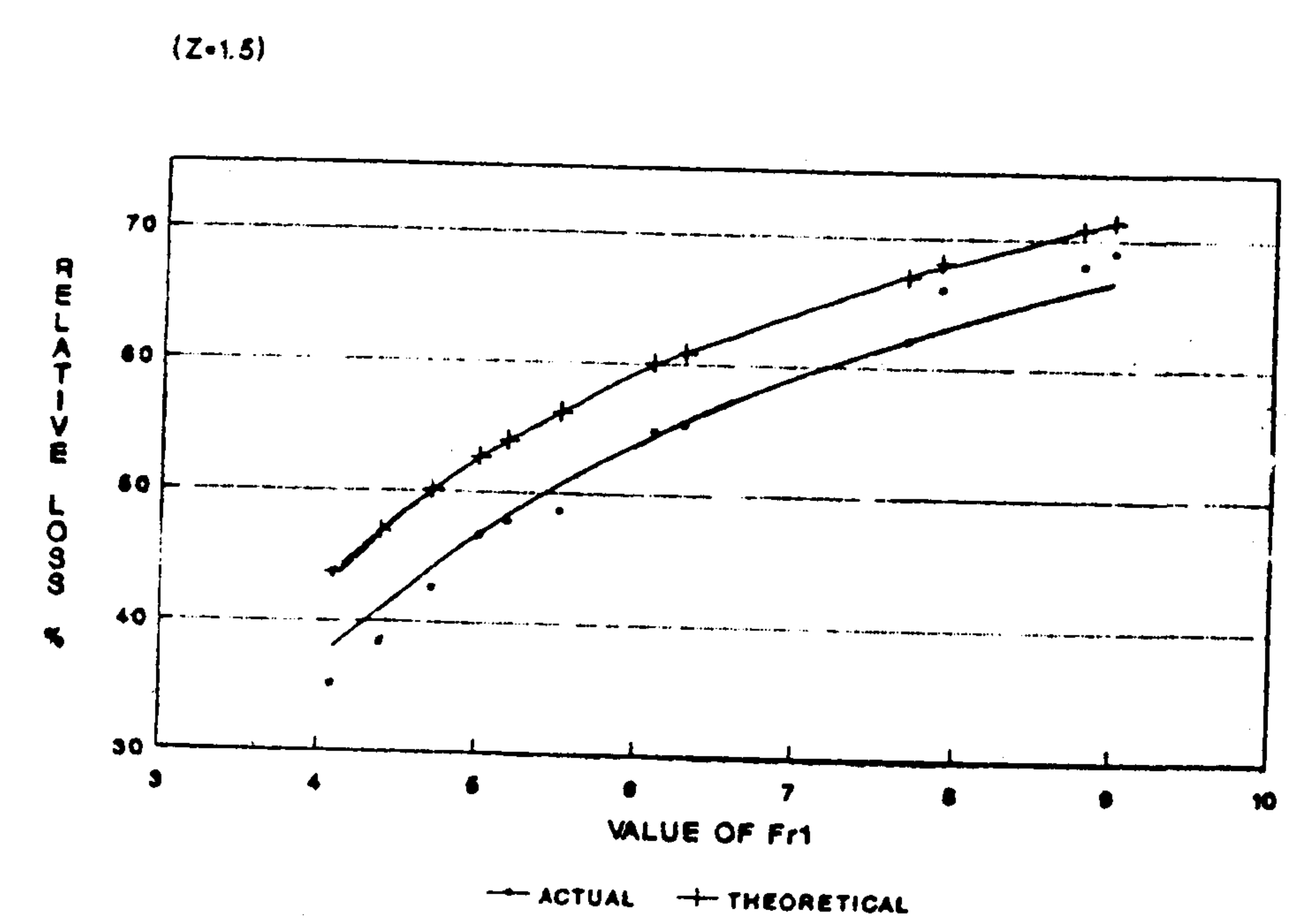
شکل ۱۵ - مقایسه نتایج واقعی با منحنی تئوری در گزینه V



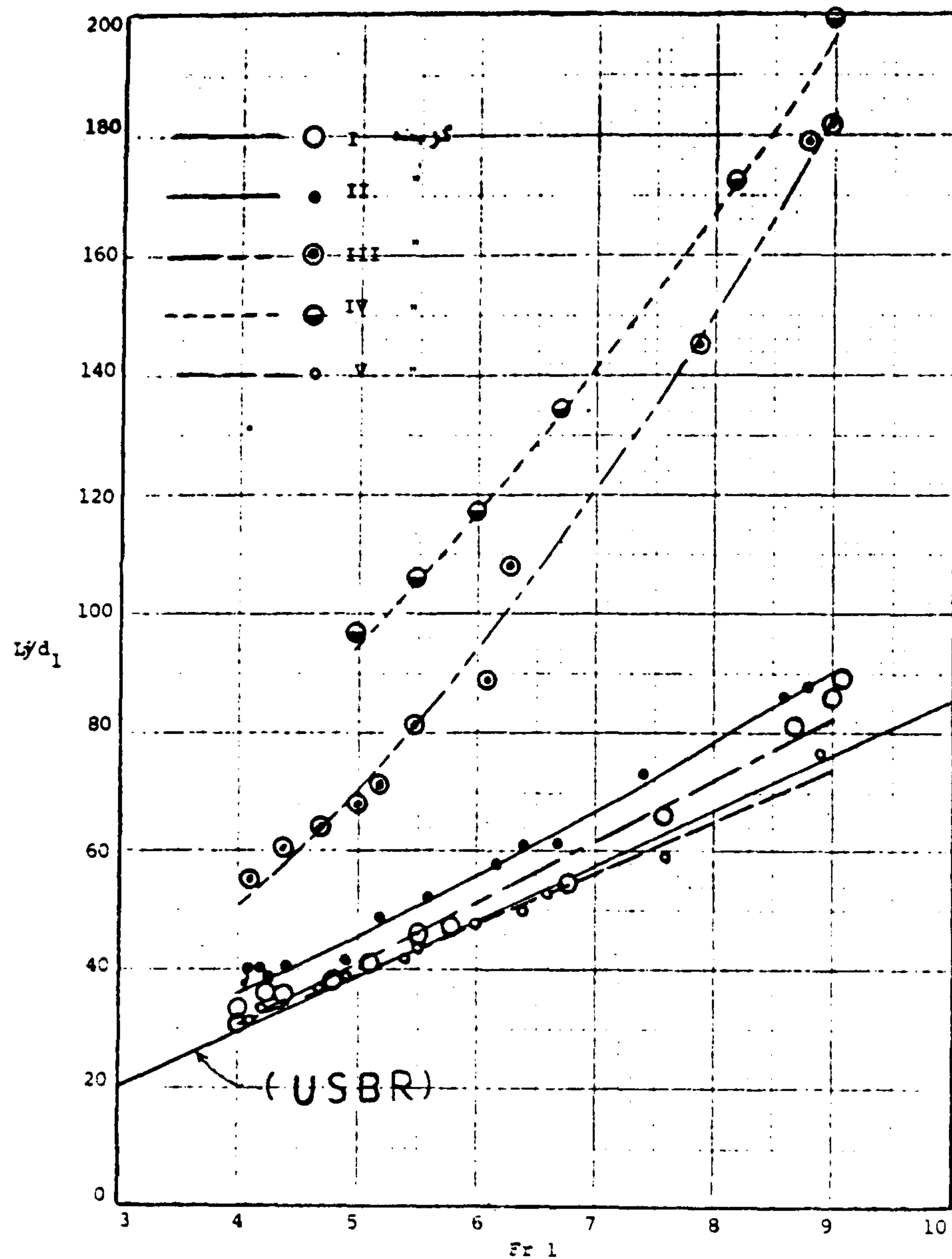
شکل ۱۲ - مقایسه افت انرژی نسبی واقعی با منحنی تئوری در گزینه II

در مجموع، نتایج حاصل از این مطالعه نشان می دهد که جهش هیدرولیکی در مقاطع ذوزنقه ای ناپایدارتر از جهش در مقطع مستطیلی می باشد. ملیکن با در نظر داشتن مجموعه شرایط فنی و اقتصادی نمی توان یک توصیه کلی در مورد استفاده یا عدم استفاده از این گونه مقاطع ارائه نمود. مقطع ذوزنقه ای برای تشکیل جهش دارای ویژگیهایی می باشد که در پاره ای از شرایط بویژه در مقاطع با شب های جانبی یک و بیشتر بخوبی با مقطع مستطیل رقابت می کند. بعضی از این ویژگیها عبارتند از:

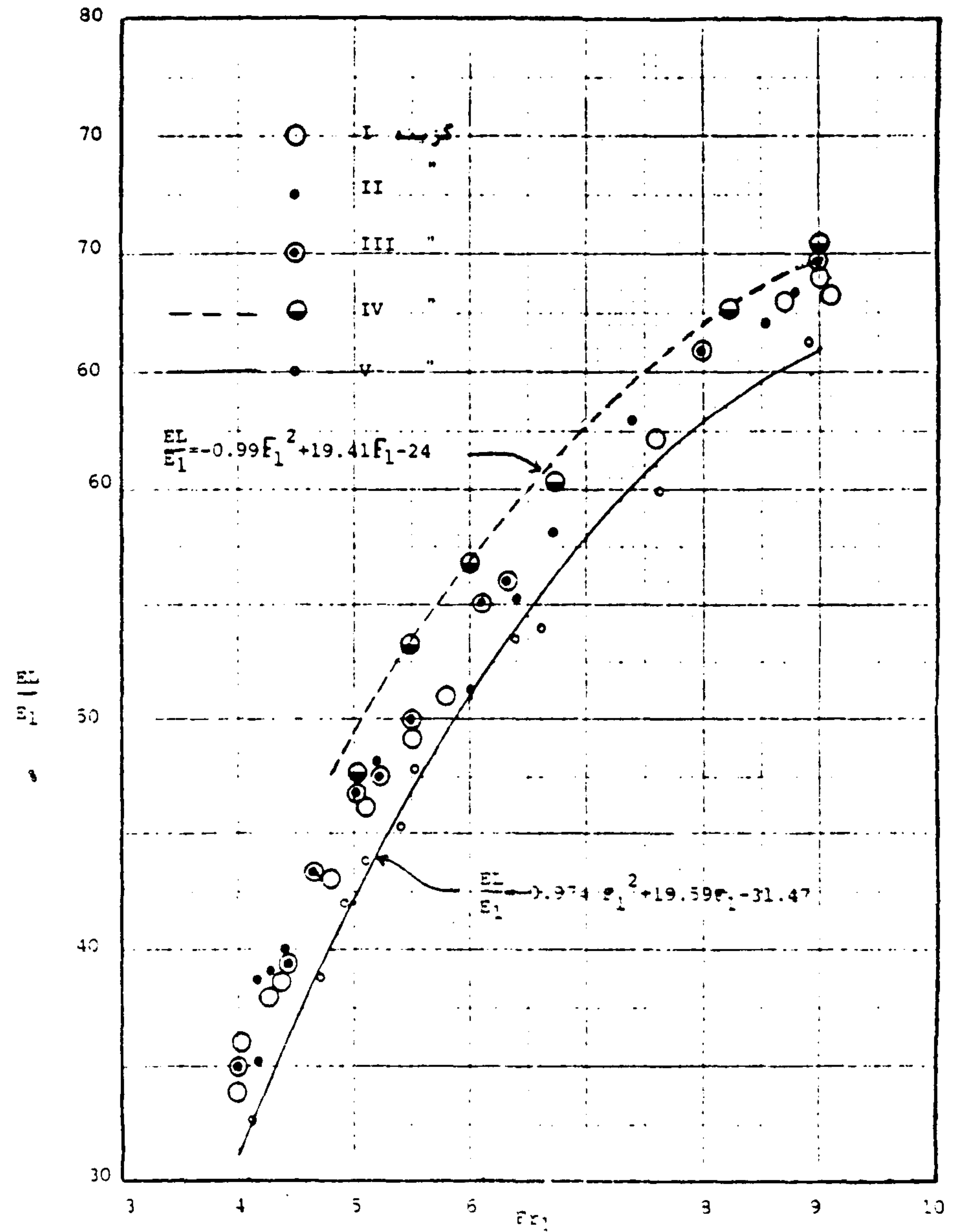
- بدليل کوچکتر بودن ارتفاع جهش در مقاطع ذوزنقه ای در مواردی که تامین عمق لازم پایاب محدودیت داشته باشد استفاده از این مقاطع مناسبتر می باشد.



شکل ۱۳ - مقایسه نتایج افت انرژی واقعی با منحنی تئوری در گزینه III



شکل ۱۷ - نسبت طول جهش به عمق اولیه در مقابل اعداد فرود بالادست



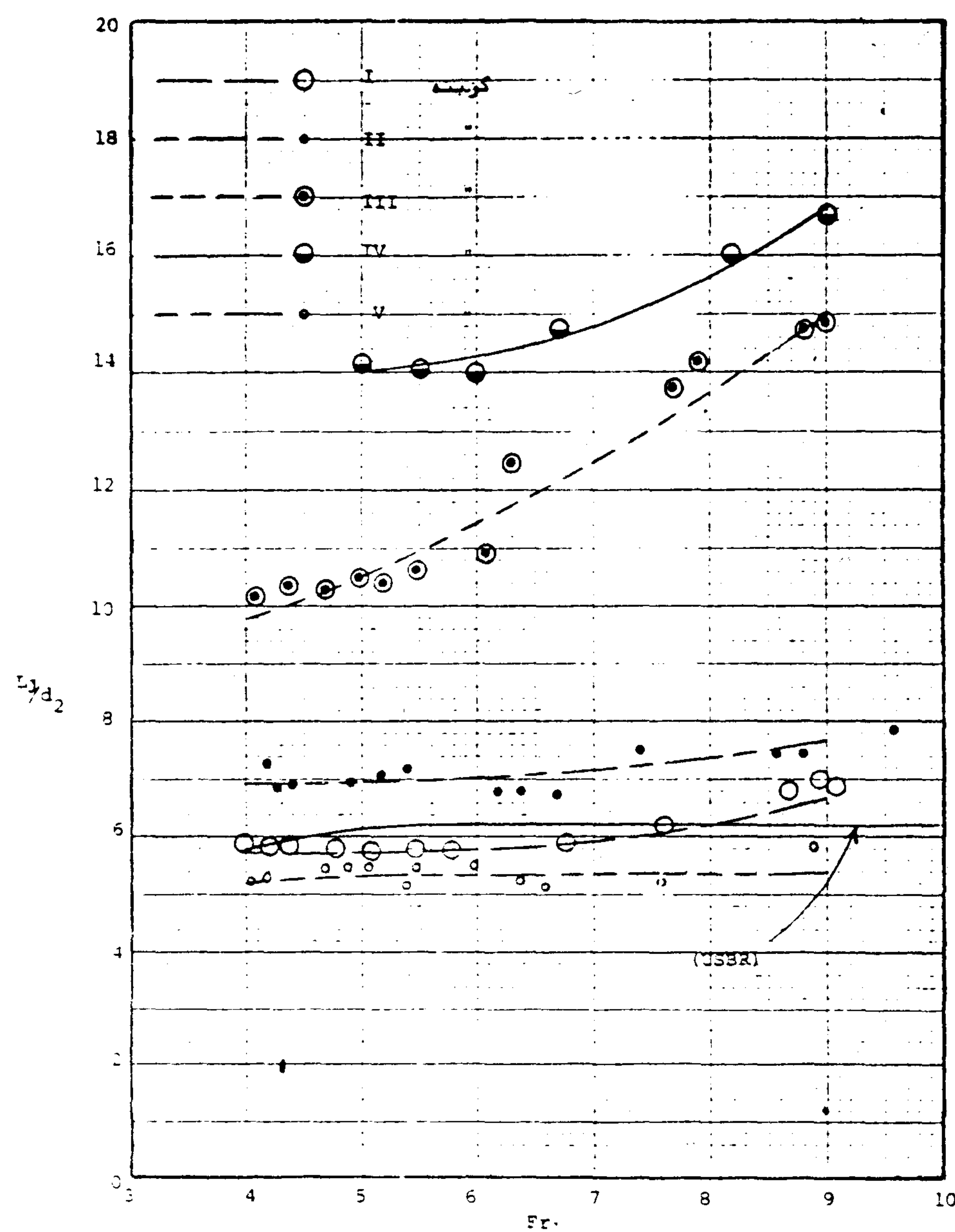
شکل ۱۶ - افت انرژی نسبی در مقابل اعداد فرود بالادست

برخود لازم می دانم از زحمات و راهنماییهای بیدریغ و ارزشمند استاد جناب آقای دکتر حبیب الله بیات در اجرای این مطالعه سپاسگزاری نمایم. همچنین از مدیریت محترم دانشکده کشاورزی دانشگاه تربیت مدرس بخاطر تامین هزینه های این تحقیق و مدیریت محترم دانشکده عمران دانشگاه صنعتی امیر کبیر بخاطر تامین امکانات مورد نیاز سپاسگزاری می شود.

- استهلاک انرژی در مقاطع ذوزنقه ای بیشتر از مقطع مستطیلی است.
- اجرای عملیات ساختمانی در مقاطع ذوزنقه ای به دلیل عدم نیاز به قالب بندی با سهولت بیشتری انجام می گیرد.

سپاسگزاری

به مصداق شریفه "من لم يشكر المخلوق لم يشكر الخالق"



شکل ۱۸ - نسبت طول جهش به عمق ثانویه در مقابل اعداد فرود بالادست

REFERENCES

مراجع مورد استفاده

- ۱ - فرهودی، ج. "روش کلی برای محاسبه بارامترهای مشخصه جهش آبی در حوضچه های آرامش". مجله آب، شماره ۳ سال ۱۳۶۳.
- ۲ - Henderson, J.M. 1996. "Open channel flow", MC Millan P.Co
- ۳ - I. Wao. 1991. Ohtsu and Youichi Yasuda " Hydraulic Jump in Sloping Channels" Journal of ASCE, Hydr. Div. Vol. 117, No. 7.
- ۴ - Kawag. 1991. Oshi,N. & Hager , W.H" Classical Hydraulic Jump Length of Rlooe" Jurnal of Hydr. Resear arch, Vol. 28, No.5.
- ۵ - Massey, B.S. 1961. "Hydraulic Jump in Trapezoidal Channels An Improved Method", Water Power , Vol.13.
- ۶ - Peterka, A.J., "Hydraulic Design of Stilling Basins and Energy Dissipatros, USBR.1958.
- ۷ - Posey, C.J. & Hesing .P.S. 1938. "Hydraulic Jump in . Trapezoidal Channels", Engineering News-Record,
- ۸ - Silvester, R. 1938. "Hydraulic Jump in All Shapes of Horizontal Channels", J.of, ASCA, Hydr.Div.
- ۹ - Subramanya,K. 1982. "Flow in Open Channels" , Mc Graw- Hill, Book Co.

Behaviour of Hydraulic Jump in Trapezoidal Sections

M.H.OMID

**Instructor, Department of Irrigation and Reclamation, College of
Agriculture, University of Tehran, Karaj,Iran.**

Accepted 19.May 1996.

SUMMARY

To investigate the behaviour and characteristics of hydraulic jump in trapezoidal sections, for evaluartion of technical criterion for design of stilling basins, the tests were conducted on a physical model with a discharge of 3 to 25 lit/sec. The technical factors of trapezoidal sections being considered were : secondary depth ratio, headloss , and lenght of Jump for side slopes of 0.5,1,1.5 and 2.

The results of tests showed that the secondary depth ratio is less for trapezoidal sections compared to rectangular sections, and its value decreases by reduction in the side slopes . The head loss in trapezoidal sections is inversly proportional to side slope ,and the jump length increases by reduction in the side slopes.